

УДК 534.266

©1991

## УШИРЕНИЕ КВАЗИСТАЦИОНАРНЫХ СОСТОЯНИЙ НОСИТЕЛЕЙ ЗАРЯДА В УЛЬТРАДИСПЕРСНЫХ СРЕДАХ

*Н. А. Ефремов, С. И. Покутний*

Теоретически исследована зависимость уширения квазистационарных состояний носителей заряда в ультрадисперсных конденсированных средах от размера неоднородностей, главного  $n$  и орбитального  $l$  квантовых чисел. Показано, что такие квазистационарные состояния в широкой области спектра имеют достаточно малую ширину.

1. В последние годы возрастает интерес к изучению оптических свойств различных неоднородных конденсированных сред с пониженной размерностью [1-9]. В работе [6] изучалась перестройка электронного спектра полупроводника под влиянием граничащего с ним вещества (другого полупроводника, металла или диэлектрика). Возможность локализации экситона на границе раздела полупроводник—диэлектрик силами электростатического изображения показана в [7].

Особый интерес представляет локализация носителей заряда в конденсированных ультрадисперсных средах (УДС) на микронеоднородностях, которые в ряде случаев можно рассматривать как малые сферические диэлектрические частицы (ДЧ) с размерами  $a \sim 10 \div 10^3 \text{ \AA}$ , погруженные в среду с другой диэлектрической проницаемостью. В [8, 9] экспериментально изучалась локализация носителей заряда и экситонов в изоэлектронных твердых растворах  $A_2B_6$ . Влияние поляризационного взаимодействия на спектр экситона большого радиуса вблизи сферической границы раздела двух различных диэлектрических сред показано в [10].

2. Условия локализации заряда в окрестностях сферической ДЧ проанализированы в [11], где решена в конечном виде электростатическая задача о поле, индуцируемом зарядом в окрестности ДЧ радиуса  $a$ , и найдены простые аналитические выражения для энергии поляризационного взаимодействия  $U(r, a)$ .

В предыдущей работе авторов [12] рассматривалась простая модель: сферическая ДЧ радиусом  $a$  с диэлектрической проницаемостью  $\epsilon_2$ , погруженная в среду с диэлектрической проницаемостью  $\epsilon_1$ . В этой среде вблизи поверхности ДЧ двигалась частица с зарядом  $e$  и эффективной массой  $m_1$ . Энергия поляризационного взаимодействия носителя заряда  $e$  с индуцированным им поверхностным зарядом ДЧ в случае, когда  $\epsilon_2 \gg \epsilon_1$ , в [12] записывалась в таком виде<sup>1</sup>

$$V_l(x, S) = \begin{cases} -\frac{6S^3}{x(x+S)^2(x+2S)} + \frac{L^2}{(S+x)^2}, & x > 0, \\ \infty, & x \leq 0, \end{cases} \quad (1)$$

где  $L^2 = l(l+1)$ ;  $l$  — орбитальное квантовое число заряда  $e$ ;  $x = (r-a)/b_1$  — расстояние носителя заряда до поверхности ДЧ в единицах  $b_1$ ;  $S = a/b_1$  —

<sup>1</sup> Предполагается, что на поверхности ДЧ имеется высокий потенциальный барьер  $V \rightarrow \infty$ , препятствующий проникновению носителей заряда внутрь ДЧ.

радиус ДЧ. Величина  $b_1$  определяет среднее расстояние носителя заряда, локализованного над плоской поверхностью в основном состоянии [14]

$$b_1 = 6 \left| \frac{\varepsilon_2 + \varepsilon_1}{\varepsilon_2 - \varepsilon_1} \right| a_B^*, \quad (2)$$

где  $a_B^* = \varepsilon_1 \hbar^2 / m_1 e^2$  — боровский радиус заряда в среде  $\varepsilon_1$ . Здесь и далее используются единицы энергии  $Ry^*/36 = \hbar^2 / 2m_1 b_1^2$  и длины  $b_1$ .

При  $l \neq 0$  вклад центробежной энергии в эффективный потенциал  $V_l(x, S)$  (1) (второе слагаемое в (1)) создает положительный потенциальный барьер, максимальная величина которого

$$V_m(L, S) = L^2 S^{-2} (\sqrt{1 + \beta^2} - \beta)^2 \quad (3)$$

достигается при

$$x = x_m = S \left[ \sqrt{\sqrt{1 + \beta^2} (\sqrt{1 + \beta^2} + \beta)} - 1 \right],$$

где  $\beta = \sqrt{6S/L^2}$ . Образование такого барьера означает, что наряду со стационарными состояниями с энергией  $E_{nl}(S) < 0$  ( $n$  — главное квантовое число носителя заряда) у поверхности ДЧ могут возникать и квазистационарные состояния (КСС) с  $E_{nl}(S) > 0$ . С ростом  $S$ , начиная с величины  $S'$  больше некоторого критического размера  $S_c^*(n, l)$ , сначала должны появляться КСС. При еще больших  $S > S_c^*(n, l) > S_c^*(n, l)$  они должны переходить в стационарные состояния. Из существования критического радиуса следует, что для ДЧ заданного размера  $S$  спектр  $E_{nl}(S)$  ограничен сверху максимальным значением  $l_m(n, S)$ , образуя зону поверхностных состояний, часть которой имеет квазистационарный характер. В [12] также найдены величины  $S_c^*(n, l)$ ,  $S_c(n, l)$ ,  $l_m(n, S)$ .

В настоящей работе исследована зависимость уширения КСС от параметров задачи ( $n$ ,  $l$  и  $S$ ) и показано, что такие КСС в широкой области спектра имеют достаточно малую ширину.

3. Приведенные результаты для КСС в [12] не учитывали возможность туннелирования носителей заряда через потенциальный барьер  $V_l(x, S)$  (1). Очевидно, они будут справедливы, если возникающее при этом уширение КСС  $\Gamma_{nl}(S)$  достаточно мало. Для оценки величины  $\Gamma_{nl}(S)$  воспользуемся стандартными формулами ВКБ [13]

$$\Gamma_{nl}(S) = \Gamma_0 \exp(-2\gamma), \quad (4)$$

$$\Gamma_0 = \left[ \int_0^{x_1} dx [E_{nl}(S) - V_l(x, S)]^{-1/2} \right]^{-1} = \frac{E_{nl}(S)^{1/2}}{S} \left[ \int_0^{u_1} du [u(u_1 - u)(u_2 - u)]^{1/2} \right]^{-1}, \quad (5)$$

$$\gamma = \int_{x_1}^{x_2} dx [V_l(x, S) - E_{nl}(S)]^{1/2} = S E_{nl}(S)^{1/2} / 2 \int_{u_1}^{u_2} (du / (1 + u)) [(u - u_1)(u_2 - u) / u]^{1/2}. \quad (6)$$

Здесь  $u_{1,2}$  связаны с точками поворота  $x_{1,2} = S((1 + u_{1,2})^{1/2} - 1)$  (при  $E < 0$   $u_1 < -1$  и  $x_1$  принимает комплексное значение, а при  $E > 0$   $u_1, u_2 > 0$ ) и определяются соотношениями [12]

$$E_{nl}(S) = \frac{6}{S} \frac{(L^2/6S) u_1 - 1}{u_1(1 + u_1)} \leq V_m(l, S),$$

$$\frac{u_1}{u_2} = \frac{S u_1^2 E_{nl}(S)}{6} = \frac{(L^2/6S) u_1 - 1}{1 + u_1} u_1 \leq 1. \quad (7)$$

При определенном значении радиуса ДЧ  $S$  положение уровня  $E_{nl}(S) > 0$  находится в потенциале  $V_l(x, S)$  (1), форма и максимальное значение которого  $V_m(L, S)$  (3) меняются в зависимости от  $l$ . Поэтому для ДЧ с размером  $S$ , таким, что  $S_c^*(n, l) < S < S_c(n, l)$ , уширение КСС будет достаточно мало при выполнении условий

$$\eta_{nl}(S) = \frac{\Gamma_{nl}(S)}{E_{nl}(S)} \ll 1, \quad (8)$$

$$\xi_{nl}(S) = \frac{\Gamma_{nl}(S)}{V_m(l, S) - E_{nl}(S)} \ll 1, \quad (9)$$

$$\Gamma_{nl}(S) \ll |E_{nl}(S) - E_{n\pm 1, l}(S)|. \quad (10)$$

Используя полученные ранее результаты [12], можно показать, что в указанной области  $S$  либо вообще не существует КСС с  $(n \pm 1)$ , либо они значительно отличаются по энергии от величины  $E_{nl}(S)$  и третье условие заведомо выполняется, если выполняется второе. Поэтому необходимо оценить условия выполнимости только первых двух неравенств (неравенств (8) и (9)). Для этого рассмотрим отдельно два случая: 1)  $L \geq n \sim 1$  и 2)  $(L/n)^{2/3} \gg 1$ .

В первом случае граница спектра КСС  $E_n^{\max}(S)$  не превышает значительно энергию связи плоскостного состояния [12]

$$|E_n(S \rightarrow \infty)| = 9/4n^2. \quad (11)$$

При этом в допустимой области имеется только одно состояние с определенным значением  $l$ . В рассматриваемом случае удобно ввести величину

$$g_{nl}(S) = \frac{E_{nl}(S)}{V_m(l, S)}. \quad (12)$$

При этом

$$\xi_{nl}(S) = \frac{g_{nl}(S)}{1 - g_{nl}(S)} \eta_{nl}(S), \quad (13)$$

где функции  $\eta_{nl}(S)$  (8) и  $\xi_{nl}(S)$  (9) зависят от  $S$  только через параметр  $g_{nl}(S)$  (12).

Для вычисления функций  $\eta_{nl}(S)$  и  $\xi_{nl}(S)$  (13) можно выразить интегралы, входящие в формулы (5) и (6), через табулированные эллиптические интегралы второго и третьего рода. Результаты расчета функций  $\eta_{nl}$  и  $\xi_{nl}$  для  $l=1, 2, 3, 30$  и  $n=1, 2, 3$  приведены на рис. 1. Эти результаты показывают, что условия (8)–(10) с ростом  $l$  хорошо выполняются даже при  $g \approx 0.5$  для  $l \geq 3$ . Энергия таких КСС составляет уже заметную долю энергии связи плоскостного состояния (11).

Во втором случае максимальная энергия  $E_n^{\max}(S)$  принимает значение [12]

$$E_n^{\max}(S) = \frac{3}{8} \frac{S}{n^2}, \quad \left(\frac{L}{n}\right)^{2/3} \gg 1, \quad (14)$$

которое значительно превышает энергию связи плоскостного состояния (11), и с ростом  $S$  зона дискретных КСС становится квазинепрерывной, переходя при  $S \rightarrow \infty$  в сплошной спектр. Для того чтобы охарактеризовать уширение состояний, в этом случае удобно ввести величину

$$G_n(S) = \frac{E_{nl}(S)}{E_n^{\max}(S)}, \quad (15)$$

указывающую положение уровня  $E_{nl}(S)$  в зоне относительно ее ширины  $E_n^{\max}(S)$  (14).

Используя (7) и (14), можно выразить фигурирующую в формулах (5) и (6) величину  $(u_1/u_2)$  через функцию  $G_n(S)$  (15) и  $u_1$

$$\mu \equiv \frac{u_1}{u_2} = \frac{S^2 u_1^2}{16n^4} G_n(S). \quad (16)$$

При выполнении условия  $n^2/S \ll 1$  величина  $u_1^{1/2}$  при изменении  $\mu$  от  $\mu \ll 1$  (при этом  $G_n \approx n^2/S, \ll 1$ ) до  $\mu=1$  ( $G_n=1$ ) слабо меняется соответственно от  $u_1^{1/2} = (8n^2/3S)^{1/2}$  до  $u_1^{1/2} = (9\pi^2/32)^{1/2} (8n^2/3S)^{1/2}$  [12]. Тогда параметр  $\mu$  (16) изменяется соответственно от  $(4/9) G_n$  до  $(3\pi^2/32)^2 G_n$ . Поэтому

$(3/8)(Su_1/n^2)$  является функцией, слабо зависящей от  $G_n$ , которую можно интерполировать линейной зависимостью

$$\left(\frac{3}{8} \frac{Su_1}{n^2}\right)^{1/2} = 1 + cG_n, \quad (17)$$

где  $c = (3\pi/8) - 1 \approx 0.18$ . Тогда в соответствии с (17) параметр  $\mu$  (16) определяется следующей зависимостью от  $G_n$ :

$$\mu = \frac{4}{9} G_n (1 + cG_n)^4. \quad (18)$$

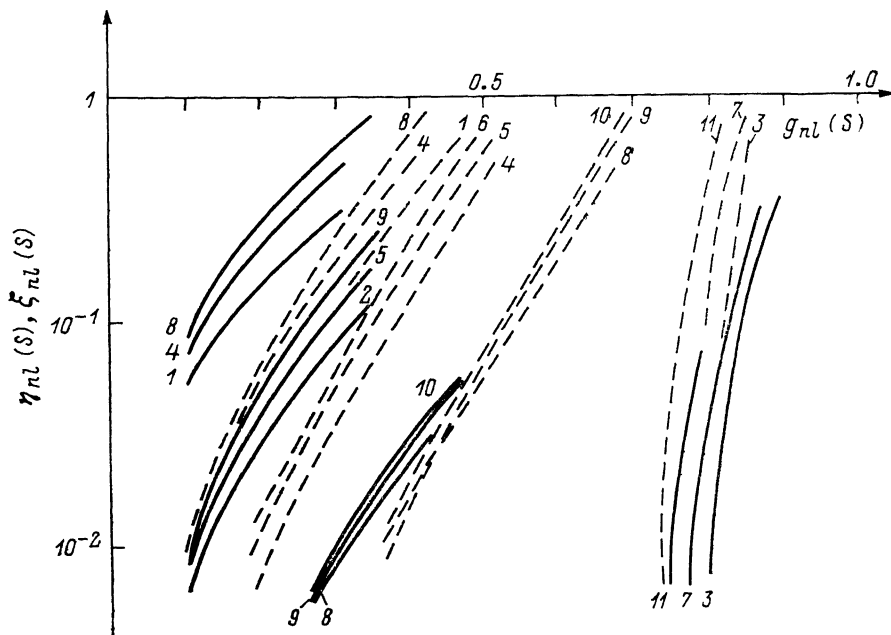


Рис. 1. Параметры уширения квазистационарных состояний  $\eta_{nl}$  (8),  $\xi_{nl}$  (9) как функции  $g_{nl}(S) = E_{nl}(S)/V_m(l, S)$ .

$\eta$  — сплошные линии,  $\xi$  — штриховые. Значения  $n, l$ : 1 — 1, 1; 2 — 1, 2; 3 — 1, 30; 4 — 2, 1; 5 — 2, 2; 6 — 2, 3; 7 — 2, 30; 8 — 3, 1; 9 — 3, 2; 10 — 3, 3; 11 — 3, 30.

Таким образом, величина  $\eta_{nl}(S)$  (8), согласно формулам (4)–(7) и (18), является функцией  $G_n(S)$  и  $S$ . При выполнении неравенства  $n^2/S \ll 1$  спектр КСС  $E_{nl}(S)$  описывается выражением [12]

$$E_{nl}(S) = -\frac{9}{4n^2} + \frac{L^2}{S^2} - 2\frac{L^2 n^2}{S^3} + \frac{15}{2S}. \quad (19)$$

Используя (3), (8), (14) и (19), функцию  $\xi_{nl}(S)$  (9) также можно выразить через  $G(S)$  и  $S$

$$\xi_{nl}(G_n, S) = \eta_{nl}(G_n, S) \frac{S}{6n^2} \frac{G_n}{1 + (G_n/3) - (4/3)G_n^{1/2}}. \quad (20)$$

Хотя интегралы в формулах (5) и (6) можно выразить через эллиптические функции, однако удобнее оценить верхнюю границу  $\Gamma_{nl}(S)$ , заменяя  $\Gamma_{nl}(S)$  на  $\tilde{\Gamma}_{nl}(S) > \Gamma_{nl}(S)$ , где для  $\tilde{\Gamma}_{nl}(S)$  можно получить точно интегрируемое выражение, незначительно изменяя подынтегральную функцию. Такое изменение, например, можно произвести, домножая подынтегральное выражение в (5) на функцию

$$[(u^{1/2} + u_1^{1/2})(u^{1/2} + u_2^{1/2})/2u_1^{1/2}(u_1^{1/2} + u_2^{1/2})]^{1/2},$$

которая заключена в пределах от  $1/2$  до  $1$ , а в (6) — на функцию:

$$\begin{aligned} & [(u_2 - u_1)/2 (u_2 - u)]^{1/2} \Theta((u_1 + u_2)/2 - u) + \\ & + [(u_2 - u_1)/2 (u - u_1)]^{1/2} \Theta(u - (u_1 + u_2)/2), \end{aligned}$$

которая меняется между  $2^{-1/2}$  и  $1$  ( $\Theta(x)$  — функция Хевисайда). В результате легко получить аналитическое выражение, которое приведем только для предельных случаев: при  $(SG/6n^2) \ll 1$

$$\begin{aligned} \eta_n(S) &\ll \tilde{\eta}_n(S) = (15/16 \sqrt{2} n) (1 + cG)^{(12/\sqrt{2})(S/n)} (SG/3n^2)^{(3/\sqrt{2})(S/n)-1} \ll 1, \\ \xi_n(S) &\ll \tilde{\xi}_n(S) = \frac{15}{32 \sqrt{2} n} \left[ \frac{SG}{3n^2} (1 + cG)^4 \right]^{(3/\sqrt{2})(S/n)} \ll 1, \end{aligned} \quad (21)$$

а при  $(6n^2/S) \ll G < 1$

$$\begin{aligned} \eta_n(S) &\ll \tilde{\eta}_n(S) = (45/16 \sqrt{2}) (n/S) \exp(-2\gamma), \\ \xi_n(S) &\ll \tilde{\xi}_n(S) = \frac{15}{32 \sqrt{2} n} \frac{\exp(-2\gamma)}{1 + (G/3) - (4/3) G^{1/2}}, \end{aligned} \quad (22)$$

где

$$2\gamma = (9\pi/2 \sqrt{2}) (n/G) [1 - (4/9) G (1 + cG)^4]^{1/2} (1 + cG)^{-4}.$$

В первом случае при  $(SG/6n^2) \ll 1$  значения энергии КСС  $E_{ni}(S)$  значительно меньше энергии связи плоскостного состояния (11). При этом, как следует из (21) и (20), функции  $\eta_n(G_n, S)$  и  $\xi_n(G_n, S)$  резко падают с ростом радиуса ДЧ  $S$  и практически стремятся к нулю.

Если же энергия КСС значительно превышает энергию связи плоскостного состояния (11), то в соответствии с (22) и (20)  $\eta_n(S) \ll \xi_n(S)$ . В этом случае определяющим условием является малость  $\xi_n(S)$ , которая зависит только от  $G_n(S)$ . С ростом параметра  $G_n(S)$  величина  $\xi_n(S)$  растет, что соответствует приближению уровня энергии  $E_{ni}(S)$  к вершине барьера.

На рис. 2 приведены функции  $\xi_n(S, G_n)$  и  $\tilde{\eta}_n(S, G_n)$ . Из хода этих функций следует, что КСС с  $n=1, 2$  являются слабо уширенными ( $\tilde{\eta}_n(S, G_n) \ll 1$ ) даже при таких немалых значениях параметра  $G_n$ , как  $G_1 \leq 0.6$  и  $G_2 \leq 0.5$ . Учитывая завышение величины  $\tilde{\Gamma}_{ni}(S)$ , можно считать, что большая часть всей зоны КСС имеет малую ширину.

Следует отметить, что для фиксированного уровня энергии  $E_{ni}(S)$  параметр  $G_n(S) = (3/8)n^4 S^{-1} E_{ni}(S)$  и ширина этого уровня  $\tilde{\Gamma}_{ni}(E_{ni}, S)$  в соответствии с (22) падает экспоненциально с ростом  $S$ , а сам уровень КСС  $E_{ni}(S)$  при  $S \rightarrow \infty$  переходит в уровень стационарных состояний над плоской поверхностью раздела [14].

4. Термическая диссоциация рассмотренных КСС определяется энергией активации

$$E_{ni}^d(S, G_n) = V_m(l, S) - E_{ni}(S). \quad (23)$$

Учитывая формулы (8), (9), (15) и (20), представим энергию активации  $E_{ni}^d(S, G_n)$  (23) в таком виде

$$E_{ni}^d(S, G_n) = \frac{\delta n^2}{S} \left( 1 + \frac{G_n}{3} - \frac{4}{3} G_n^{1/2} \right) E_n^{\max}(S). \quad (24)$$

Для высоких КСС с квантовыми числами  $n$  и  $L$ , удовлетворяющими условию  $(L/n)^{1/3} \gg 1$ , энергия активации  $E_{ni}^d$  (24) с учетом формул (11) и (14) принимает вид

$$E_{ni}^d(S, G_n) = \left( 1 + \frac{G_n}{3} - \frac{4}{3} G_n^{1/2} \right) |E_n(\infty)|. \quad (25)$$

Из формулы (25) следует, что с ростом параметра  $G_n$  энергия активации  $E_{ni}^d$  уменьшается. Например, для КСС с энергией  $E_{ni}(S)$ , равной половине ширины зоны КСС,  $E_{ni}^d(S, G_n=0.5) = 0.22 |E_n(\infty)|$ , и только для низких состояний с  $G_n=0.2$  энергия активации  $E_{ni}^d(S, G_n=0.2) \approx 0.5 |E_n(\infty)|$ .

будет составлять заметную долю от величины  $E_n(\infty)$  (11). Поэтому изучаемые здесь КСС носителей заряда будут долгоживущими в полупроводниковых матрицах типа CdS, GaAs или GaSe, где характерные энергии дырочных состояний  $E_1(\infty) \sim 10^{-2}$  эВ.

Наблюдавшееся в [14] уменьшение подвижности носителей тока в германии  $n$ -типа, легированного сурьмой, связывалось с локализацией электронов на кластерах сурьмы размером  $a \sim 10^2 \div 10^3$  Å.

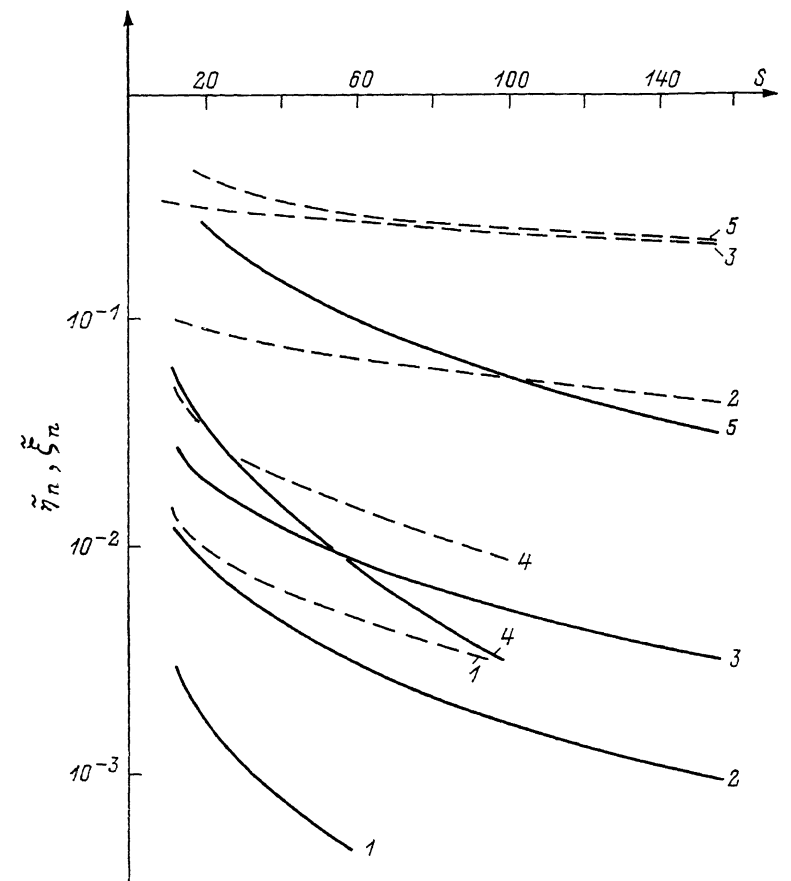


Рис. 2. Параметры уширения квазистационарных состояний  $\tilde{\eta}_n, \tilde{\xi}_n$  как функции радиуса  $S$  при  $l \gg n$  для некоторых значений  $G_n = E_{nl}(S)/E_n^{\max}(S)$ .

$\eta$  — сплошные линии,  $\xi$  — штриховые. 1 —  $n=1, G_1=0.45$ ; 2 —  $n=1, G_1=0.56$ ; 3 —  $n=1, G_1=0.65$ ; 4 —  $n=2, G_1=0.36$ ; 5 —  $n=2, G_1=0.45$ .

На таких достаточно больших частицах Sb  $a \sim 10^3$  Å ( $S \sim 10^2$ ) могут возникать КСС электрона. Обычно длина свободного пробега носителей в полупроводниках (в частности, в Ge) значительно больше таких размеров [16]. Например, на частице сурьмы радиусом  $S=10^2$  может существовать значительное число КСС электрона с квантовыми числами ( $n=1, l \leq 600$ ) и энергией  $E_{1,l} \leq E_1^{\max} = 1.034 \cdot 10^{-1}$  эВ [12]. Термическая диссоциация таких высоких КСС с энергией  $E_{1,l} = 0.5 E_1^{\max}$  ( $G_1=0.5$ ) определяется энергией активации (25)  $E_{1,l}^d \approx 1.4 \cdot 10^{-3}$  эВ, что соответствует температуре  $T = 16$  К. Уширение этих КСС  $\Delta \tilde{\eta} \ll \tilde{\xi} \approx 10^{-3}$  (рис. 2) является достаточно малым.

Следует отметить, что такие высокие КСС могут оказаться существенными в процессах рассеяния носителей заряда на частицах достаточно большого размера и приводить к сильному подавлению подвижности в полупроводниках [15] и в плотных парах [17]. При этом захват носителей на КСС возможен и без изменения их полной энергии.

В заключение подчеркнем, что зависимость уширения КСС носителей заряда  $\eta_{ni}(S)$  (8) и  $\xi_{ni}(S)$  (9) от размера частицы  $S$  дает возможность селективировать методами лазерной спектроскопии микронеоднородности в полупроводниках.

#### С п и с о к л и т е р а т у р ы

- [1] Агранович В. М. Теория экситонов. М.: Наука, 1968. С. 384.
- [2] Андо Т., Фаулер А., Стерн Ф. Электронные свойства двумерных систем. М.: Мир, 1985. С. 416.
- [3] Агранович В. М., Мальшуков А. Г., Мехтиев М. А. // ФТТ. 1972. Т. 14. № 3. С. 849—856.
- [4] Агранович В. М., Мальшуков А. Г., Мехтиев М. А. // ЖЭТФ. 1972. Т. 63. № 6. С. 2274—2283.
- [5] Агранович В. М. // ФТТ. 1972. Т. 14. № 12. С. 3684—3691.
- [6] Агранович В. М., Лозовик Ю. Е. // Письма в ЖЭТФ. 1973. Т. 17. № 4. С. 209—211.
- [7] Лозовик Ю. Е., Нишанов В. Н. // ФТТ. 1976. Т. 18. № 11. С. 3267—3272.
- [8] Пермогоров С. А., Резницкий А. Н., Вербин С. Ю. // Изв. АН СССР, сер. физ. 1985. Т. 49. № 10. С. 2019—2025.
- [9] Резницкий А. Н., Пермогоров С. А., Наумов А. Ю. // Изв. АН СССР, сер. физ. 1988. Т. 52. № 4. С. 691—696.
- [10] Ефремов Н. А., Покутний С. И. // ФТТ. 1990. Т. 32, № 6. С. 1637—1643.
- [11] Ефремов Н. А., Покутний С. И. // ФТТ. 1985. Т. 27. № 1. С. 48—56.
- [12] Ефремов Н. А., Покутний С. И. // ФТТ. 1990. Т. 32. № 10. С. 2921—2930.
- [13] Ландау Л. Д., Лифшиц Е. М. Квантовая механика. М.: Наука, 1974. С. 752.
- [14] Препелица Б. В. // ФТП. 1969. Т. 3. № 9. С. 1403—1405.
- [15] Шаховцов В. И., Шаховцова С. И., Шпинар Л. И., Ясковец И. И. // ФТП. 1977. Т. 11. № 10. С. 1967—1971.
- [16] Зеегер К. Физика полупроводников. М.: Мир, 1977. С. 732.
- [17] Krebs P., Girard V., Wanschik M. // Phys. Rev. Lett. 1980. V. 44. N 3. P. 211—213.

Криворожский

государственный педагогический институт

Поступило в Редакцию  
26 февраля 1991 г.